

報 支  
화학공학, 제10권 제4호  
J. KIChE, Vol. 10, No. 4  
Aug. 1972

## 金網翼攪拌機의 液一液系 多段抽出 裝置에의 活用

姜 雄 基\* · 都 東 變\*

### The Screen Blade Impeller in a Multi-stage Column Extractor

\*Woong ki Kang · \*Dong Sup Doh

Dept. of Chem. Eng., Korea Univ.

#### Abstract

The screen blade impeller was compared with the flat blade impeller in a four stage counter current column extractor, where nicotine in water (drop phase) was extracted by kerosene (continuous phase).

The extraction efficiency was measured as a function of the impeller rotation, the flow rate, and the screen opening. The drop size and the drop hold-up were also measured and the results were correlated with the impeller rotation.

Through this investigation, it could be concluded that, when the same power consumed, the screen blade is more effective than the flat blade in the extractor. The above conclusion was well interpreted with the experimental results for the drop size and the hold-up.

#### 1. 緒 論

液體攪拌에 使用되는 가장 보편적인 장치는 넓은 粘度範圍에 걸쳐 使用可能한 flat blade turbine impeller이다. 따라서 이 장치에 대한 所要動力<sup>1-3)</sup>, flow pattern, 排出流量과 turbulence, system geometry 等<sup>4-8)</sup>에 관해서는 많은 研究와 詳細한 文獻이 있다.

그러나 turbine impeller를 抽出操作에 使用하는 경우에는 多段인 경우가 보통이다. 特히 稀土類나 高分子物質의 抽出에는 30段以上的 多段抽出을 해야 할 경우도 있다. 最近 이러한 多段抽出장치로서 Pulse column<sup>9-10)</sup>, Scheibel extractor<sup>11-13)</sup>, rotating disk contactor<sup>14)</sup>等이 開發되어 많이 使用되고 있으나 이것들을 각각 큰 規模의 操業에 不適合, 裝置의 複雜性, 高回轉速度等의 短點들을 가지고 있다.

上記抽出장치들의 短點을 補完하고 抽出効率을 높힐 목적으로 最近, screen blade turbine impeller가 開發

되어 이에대한 所要動力<sup>15,16)</sup>, 混合時間 및 逆混合等의 기초 연구결과가 이미 發表되었다.

본 연구에서는 위의 기초연구결과를 토대로 하여 4段連續抽出實驗을 하였고, 이와 並行하여 分散相의 drop size와 hold-up을 측정하여 flat blade turbine의 경우와 比較함으로써 screen blade turbine의 우수성을 종합적으로 검토하였다.

연속抽出의 使用된 液體로는 water-nicotine-kerosene의 三成分系이고, 分散相의 drop size測定에는 interfacial polycondensation의 原理를 適用하였다. 또 分散相의 hold-up測定은 連續上의 體積變化의 관측에 의한 在來의 方法을 택하였다. Turbine impeller의 종류로는 flat blade, 50 mesh 및 12 mesh screen blade의 세 가지를 使用하였다.

#### 2. 實驗裝置 및 方法

##### (1) Drop size

液一液抽出의 分散相의 drop size 측정에는 몇가지 方

法이 있으나 본 연구에서는 morgan 等<sup>17)</sup> 이 提案하고 madden 等<sup>18)</sup>이 行한 interfacial polycondensation 的 原理를 適用하였다. 이들은 槽內에 물과, sebacyl chloride 를  $\text{CCl}_4$ 에 豐석시킨 용액을 넣고攪拌하면서 分散시킨 다음, hexamethylene diamine의 70 % 수용액 少量을 순간적으로 注入한다고 했으나, 이렇게 하면, chloride 相과 수용액과의 比重差가 너무 크기 때문에 잘 分散되지 않는다. 또한 注入한 hexamethylene diamine 이 分散相의 drop 表面 全體와 同時に 接觸되기 어렵기 때문에 drop 表面 全體가 nylon 6-10 film 으로 囲이지기 前 깨어지는 경향이 있다.

따라서 본 실험에서는 丹箇型攪拌槽內에 hexamethylene diamine 의 40 % 수용액을 넣고 impeller 를 所要回轉速度로 回轉시키면서 sebacyl chloride 를  $\text{CCl}_4$ 와 kerosene 的 혼합액에 豐석시킨 용액 少量을 순간적으로 注入한 후 2~3分間 교반을 계속한다. 이 豐석용액의 組成은 Volume %로 sebacyl chloride 22 %,  $\text{CCl}_4$  20 %, kerosene 58 %이다. 이때 分散相인 sebacyl chloride 용액 表面에는 nylon 6-10 的 膜이 形成되므로 이렇게 表面이 囲은 分散相은 연속상과 쉽게 분리시킬 수 있다. 分散된 droplet 들을 사진촬영한 후 平均徑을 측정한다.

### (2) Hold-up

分散相의 hold-up 측정은 연속추출장치내에서 分散相의 流入, 流出을 停止상태에서 일정한 所要流量으로 하였을 때 連續相의 体積膨脹율로부터 分散相의 hold-up 을 算出하는 再來方法에 의하였다. 分散相의 流量範圍는 50 ml/min부터 250 ml/min 이고 impeller 的 回轉範圍는 600 r. p. m. 까지이다.

### (3) 多段抽出

본 실험에 사용한 water-nicotine-kerosene 系의 연속 추출장치는 Fig. 1 과 같다. 100 p. p. m. 的 nicotine 용액은 tank A 로부터 중력에 의하여 valve B 와 rotameter C 를 거쳐 column 上部의 distributor D 를 통하여 column 내에 流入되어 下降한 후出口 E 를 통하여 밖으로 流出된다. 한편 kerosene 은 tank G 로부터 역시 중력에 의하여 valve H 와 rotameter I 를 거쳐 column 下部의 distributor J 를 통하여 column 내에 流入되어 上昇한 후出口 K 를 통하여 밖으로 流出된다.

Nicotine 용액 및 kerosene 的 流量은 각각 valve B 및 H에 의하여 조절되고 界面의 level은 valve F에 의하여 조절된다.

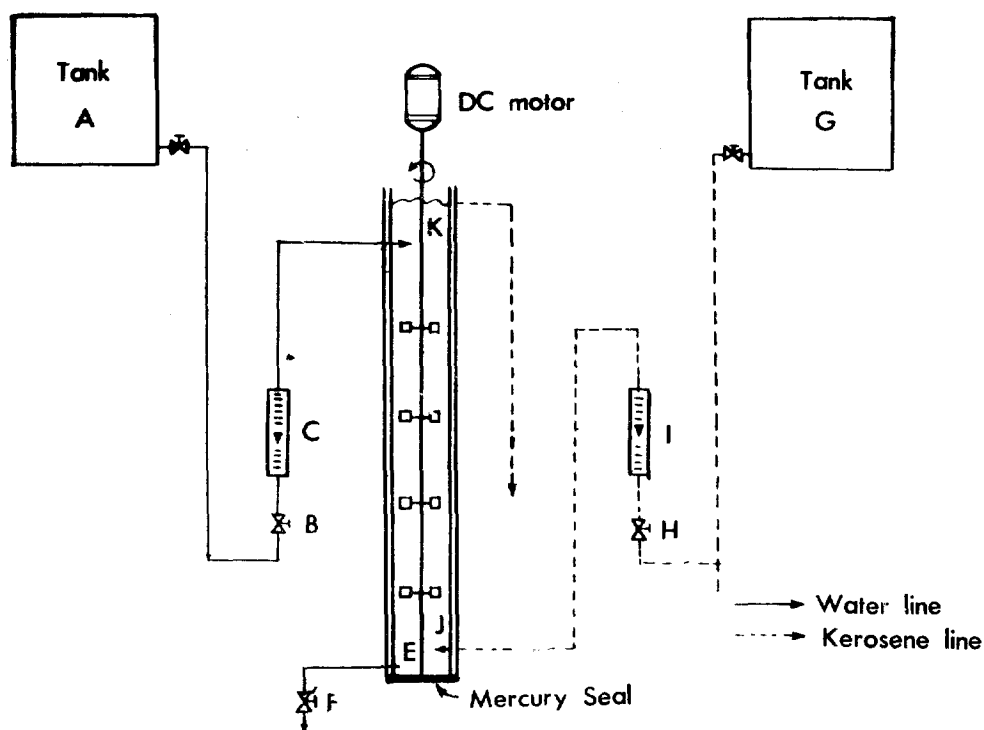


Fig. 1. Extraction Equipment

Column 및 impeller의 dimension은 Table 1에 표시된 바와 같다.

Table 1. Dimension of Extraction Apparatus

Diameter of column (glass)	2 inch
Length of column	22 inch
Number of impeller	4
Distance between two impellers	3 inch
Diameter of impeller	1 inch
Width of impeller blade	$\frac{1}{4} \times \frac{1}{4}$ inch
Width of baffle	$\frac{1}{6}$ inch

### 3. 實驗結果 및 考察

#### (1) Drop size

Impeller의 回轉速度에 대한 分散相의 drop size를 측정한 결과는 Fig. 2와 같다.

Drop size는 impeller의 回轉速度가 증가할 수록 작아지며 一定한 回轉速度下에서는 flat blade의 경우가 screen blade의 경우 보다 작다. 그러나 回轉速度가 증가함에 따라 drop size의 差異는 減小하여 500 r. p. m. 以上에서는 거의 일치함을 알 수 있다.

Fig. 3은 drop size를 所要動力에 대하여 plot한 결과이다. 이 그림에서 보는 바와 같이 一定한 動力下에

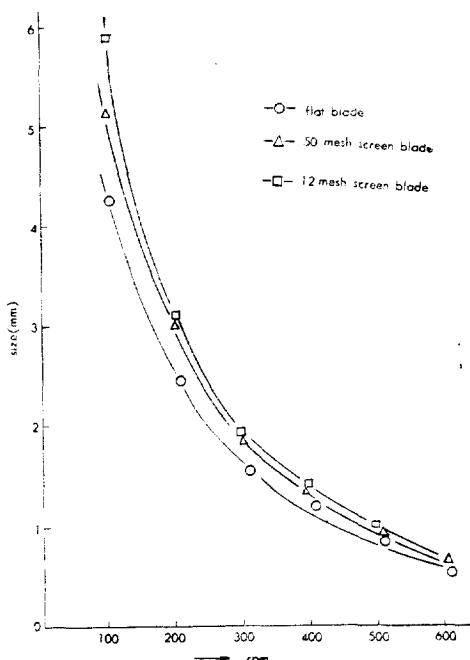


Fig. 2. Drop Size vs. Impeller Rotational Speed

서의 drop size는 flat blade, 50 mesh, 12 mesh screen blade의 順으로 작아진다. 또한 動力증가에 대한 drop size의 減少는 blade의 종류에 관계없이 所要動力의 0.35 乘에 比例함을 알 수 있다.

#### (2) Hold-up

물을 分散相으로 하고 kerosene을 連續相으로 하여 分散相의 流量을 넓은 범위에 걸쳐 變化시키면서 그때의 分散相의 hold-up을 측정하였다. Fig. 4 및 Fig. 5는 流量이 각각 150 ml/min 및 200 ml/min의 경우를 impeller의 回轉速度의 變化에 대하여 plot한 것이다. Fig. 4와 Fig. 5를 보면 flat blade의 경우가 screen blade

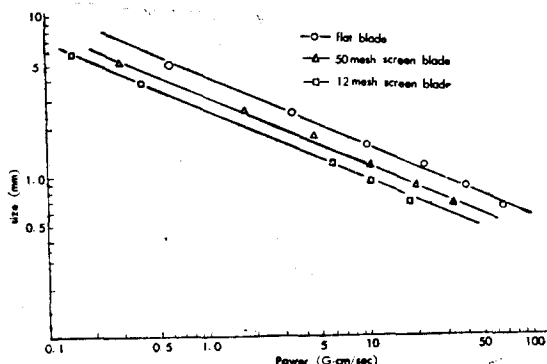


Fig. 3. Drop Size vs. power Consumption

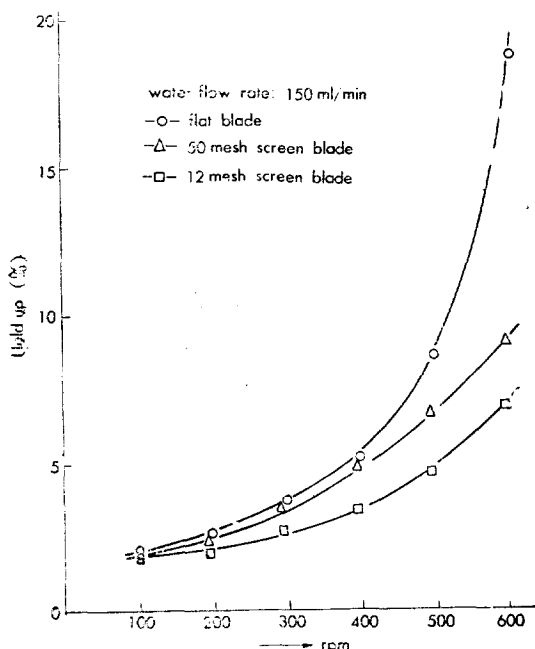


Fig. 4. Drop Hold up vs. Impeller Rotational Speed

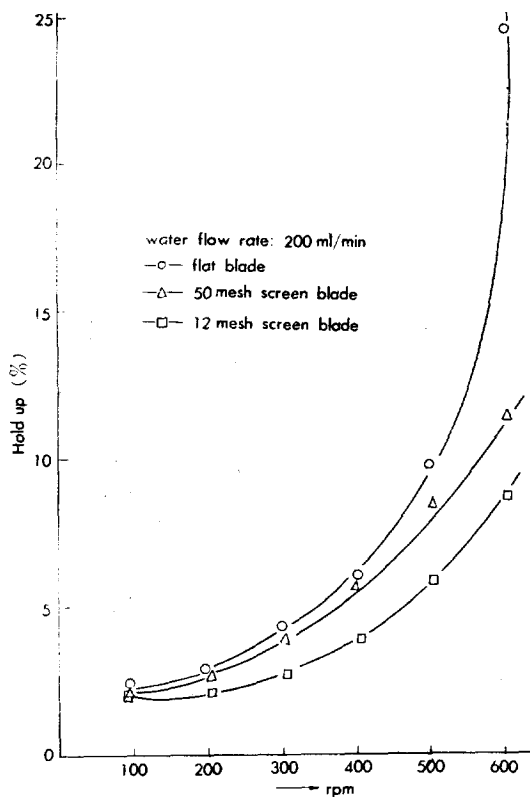


Fig. 5. Drop Hold up vs. Impeller Rotational Speed.

의 경우보다 hold-up 이 크고, 더욱이 低回轉에서 보다 高回轉 일수록 그 差異가 점점 커짐을 보여주고 있다. 이 결과를 drop size 인 경우의 Fig. 2와 比較하여 보면 정반대의 현상을 나타내고 있다.

이 實事은 다음과 같이 설명할 수 있다.

Flow pattern 이 동일한 두개의 장치내에서는 分散相의 drop size 가 작을수록 hold-up 은 커지고 drop size 가 같으면 hold-up 도 같아져야 할 것이지만 flow pattern 이 相異한 장치내에서는 반드시 그렇지는 않다. 既報<sup>16)</sup>에서 flat blade 와 screen blade turbine impeller 의 flow pattern 연구의 하나로 back mixing 的 정도를 조사한 결과 flat blade 가 훨씬 크다고 밝힌바 있다. Fig. 2와 Fig. 4 또는 Fig. 5 와의 比較에서 drop size 는 600r. p. m. 전후에서 그 差異가 점점 減少됨에 反하여 hold-up 은 그 差異가 점점 增加해지고 있는 것은 flat blade turbine 의 back mixing 이 훨씬 크다는 事實을 잘 설명해주고 있다.

### (3) 多段抽出

Water-nicotine-kerosene 系의 연속추출결과는 Fig. 6

및 Fig. 7과 같다. Fig. 6 및 Fig. 7은 kerosene 을 연속상으로 하였을때 nicotine 의 100 p. p. m. water solution 에서 부터 nicotine 이 kerosene 에 의하여 抽出된 量을 所要動力에 대하여 plot 한 것이다.

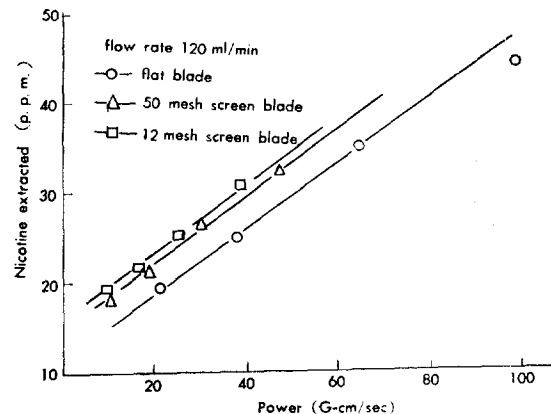


Fig. 6. Drop Hold up vs. Impeller Rotational Speed

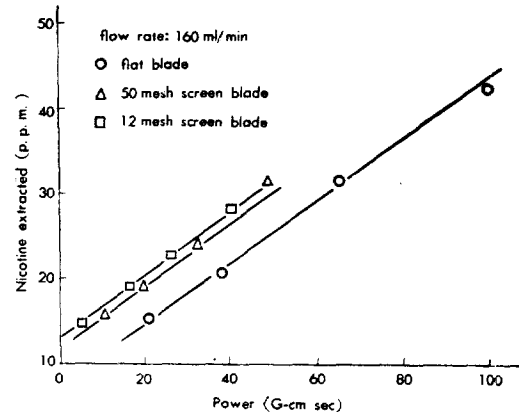


Fig. 7. Nicotine Extracted vs. Power Consumption

連續相의 流量와 分散相의 流量은 서로 같도록 하였으며 Fig. 6 은 120 ml/min 의 경우이고, Fig. 7 은 160 ml/min 의 경우이다.

이 결과는 drop size 의 경우와 비슷한 경향을 나타낸다. 즉, 一定한 所要動力下에서의 抽出效果는 screen blade 가 flat blade 보다 훨씬 우수하며 二種의 screen blade 사이에는 별 차이가 없다.

### (4) 總括物質移動係數

연속추출 결과值와 Caffey 等<sup>19)</sup>이 報告한 平衡價로 부터 물속의 nicotine 농도를 基底로한 overall mass transfer coefficient 를 算出하여 impeller 的 所要動力에 대

하여 plot 한 것이 Fig. 8 및 Fig. 9이다. 이 그림들에서一定한 所要動力下에서 screen blade의 mass transfer coefficiet 가 flat blade의 그것보다 더 크고 두개의 screen blade間에는 거의 差異가 없는 것은 drop size 및 연속多段抽出의 測定결과와 비슷하다.

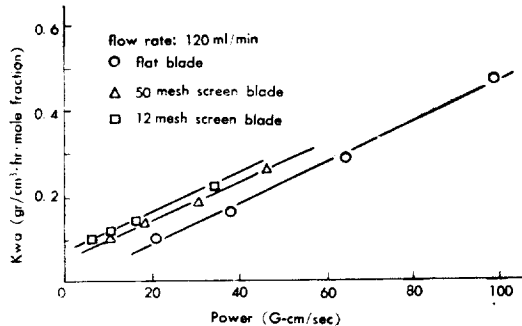


Fig. 8. Mass Transfer Coefficient vs. Power

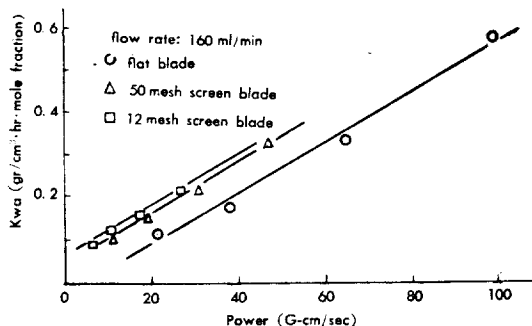


Fig. 9. Mass Transfer Coefficient vs. Power

따라서 screen blade turbine impeller는 在來의 flat blade turbine impeller에 比하여 液體攪拌, 液體混合 및 多段 液-液抽出裝置로서의 우수성이 確認되었다.

#### 4. 結論

Flat blade turbine impeller와 二種의 screen blade turbine impeller로 液-液系를攪拌했을 때의 分散相의 drop size 및 hold-up을 测定하고, water-nicotine-kerosene系의 多段抽出을 한결과 다음과 같은 결론을 얻었다.

(1) 分散相의 drop size는 impeller의 同一한 回轉速度下에서는 flat blade의 경우가 screen blade의 경우보다 작으나 回轉速度가 증가할 수록 그 差異는 감소하며, 同一한 動力下에서는 반대로 flat blade, 50 mesh, 12 mesh screen blade의 順으로 작아진다.

(2) Flat blade의 積한 back mixing 때문에 分散相의 hold-up은 오히려 flat blade의 경우가 screen blade의 경우보다 훨씬크다.

(3) 多段抽出時의 抽出결과는 drop size의 경우와 같은 경향을 나타낸다. 즉, screen blade turbine impeller의 抽出efficiency이 flat blade turbine impeller의 그것보다 훨씬 높고, 二種의 screen blade間에는 mesh number에 거의 無關하다.

(4) Nicotine 수용액의 농도를 基底로 하여 算出한 總括物質移動係數의 결과도 drop size나 多段抽出의 결과와 같은 경향을 나타낸다.

따라서 screen blade turbine impeller는 液體攪拌液體混合 또는 多段抽出에 効率的으로 活用할 수 있는 裝置이다.

#### 參考文獻

- Holland, F. A. and F. S. Chapman, "Liquid mixing and Processing in Stirred Tank", Reinhold Pub. Corp. (1966).
- Chapman, F. S. and F. A. Holland, Trans. Instn. Chem. Engrs., 43, 131 (1965).
- Rushton, J. H. and J. Y. Oldshue, Chem. Eng. Prog. Symp. Ser., 55, No. 2, 181 (1959).
- Cooper, R. G. and D. Wolf, Can. J. Chem. Eng., 45, 197 (1967).
- Cooper, R. G. and D. Wolf, ibid, 46, 94 (1968).
- Marr, G. B. and E. F. Johnson, A. I. Ch. E. J., 9, 383 (1963).
- T. Mizushima, et al, Kogaku (Japan) 35, 471 (1971).
- Wolf, D. and F. S. Manning, Can. J. Chem. Eng., 44, 139 (1966).
- Mar, B. W. and A. L. Babb, Ind. Eng. Chem., 51, 1011 (1959).
- Foster, H. R. Jr., R. E. McKee and A. L. Babb., Ind. Eng. Chem. Process Design and Develop., 9, 272, (1970).
- Scheibel, E., A. I. Ch. E. J., 2, 74 (1956).
- Pollock, G. G. and A. I. Johnson, Can. J. Chem. Eng. 47, 565 (1966).
- Pollock, G. G. and A. I. Johnson, ibid, 48, 64 (1970).
- Strand, C. P., R. B. Olney and G. H. Ackerman,

- A. I. Ch. E. J.*, 8, 252 (1962).
15. Kim, Y. E., K. Y. Shin and W. K. Kang, *J. of K. I. Ch. E.*, 5, 209 (1967).
16. Doh, D. S., *ibid* 8, 212 (1970).
17. Morgan, P. W. and S. L. Kwolek, *J. of Polymer Sci.*, 40, 299 (1959).
18. Madden, A. J. and B. J. McCoy, *Chem. Eng. Sci.*, 19, 506 (1964).
19. Claffey, J. B., C. O., Badgett, J. J. Skalamera and G. W. M. Phillips, *Ind. Eng. Chem.*, 42, 166 (1950).

#### 후기

본 연구를 수행할 수 있도록 연구장려금을 지급하여 준 연암문화재단에 깊은 감사의 뜻을 표한다.